

Q.1. Pouvoir résolut oeil $\alpha' = 1/60^\circ = 0,017^\circ \rightarrow 1 \text{ mm pour } 1 \text{ obj à } 3 \text{ m!}$
dans l'œil proximum : distance minimum d'accordéot $\rightarrow d_m \approx 25 \text{ cm}$

Q.2. Grossissement standard

$\hookrightarrow A_2 B_2 \approx l' \times \alpha$ (œil n'accordeot pas)

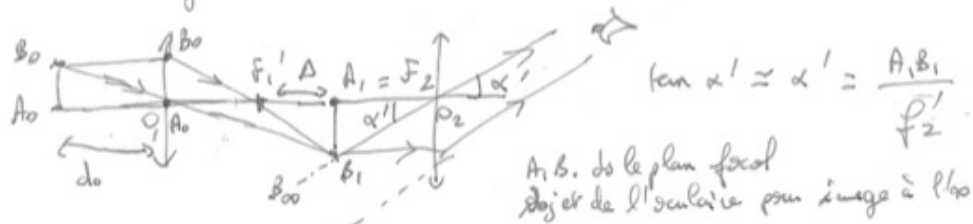
\hookrightarrow l'œil regarde l'objet $A_0 B_0$ à la distance minimale de vision d_m



$$\tan \alpha' \approx \alpha' = \frac{A_0 B_0}{d_m}$$

\hookrightarrow l'angle sous lequel on voit l'objet au pp. à l'œil nu

α' angle sous lequel on voit l'objet à travers l'instrument



$$G = \left[\frac{\alpha'}{\alpha} \right] = \frac{A_1 B_1}{f_1'} = \frac{d_m}{f_1'} \cdot \frac{A_1 B_1}{A_0 B_0} = \frac{d_m}{f_1'} \cdot \frac{A_1 B_1}{A_0 B_0}$$

Réponse A)

avec d'autre part, $\frac{A_0 B_0}{f_1'} = \frac{A_1 B_1}{\Delta} \rightarrow \frac{A_1 B_1}{A_0 B_0} = \frac{\Delta}{f_1'}$

$$G = \frac{d_m \Delta}{f_1' f_2'}$$

log). grandissement de l'objectif $G_{t_1} = \frac{A_1 B_1}{A_0 B_0} = \frac{A}{f_1'}$

grandissement de l'œil

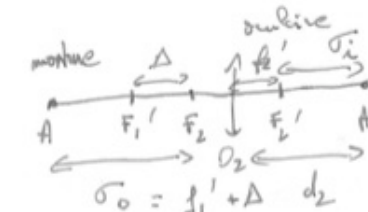
$$G_2 = \frac{\frac{A_1 B_1}{f_2'}}{\frac{A_1 B_1}{d_m}} = \frac{\alpha'}{\alpha_1} = \frac{d_m}{f_2}$$

$$G = G_{t_1} \times G_2$$

$$d-3 [G] = \frac{5}{\frac{35 \text{ cm} \times 16 \text{ cm}}{8 \text{ cm} \times 2,5 \text{ cm}}} = \frac{80}{9,5} = \underline{\underline{160}}$$

Réponse c)

d-4 -



$$d_2 = f_2' + \delta_i$$

$$(f_1' + \Delta) \delta_i = + f_2'^2 \quad (\delta_i > 0)$$

$$\delta_i = \frac{f_2'^2}{f_1' + \Delta} = \frac{(5 \text{ mm})^2}{(50 + 160) \text{ mm}} = 0,12 \text{ mm}$$

$\delta_i \approx 0!$

$$d_2 = (5 + 0,12) \text{ mm}$$

$\delta_i \ll f_2'$

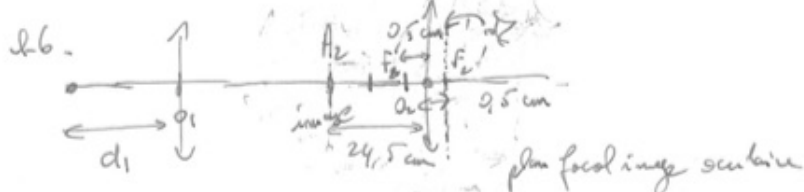
$$d_2 \approx 5,12 \text{ mm} \approx 5 \text{ mm}$$

En effet comme $f_1' \gg f_2'$, la monture est quasiment en l'œil
de l'œil $(O_2 A) \gg f_2' \rightarrow$ image dans le plan focal image de l'œil

$$d= \frac{A_0 B_0}{d_0} = \frac{A_1 B_1}{\Delta + f_1'} \quad \text{et} \quad \frac{A_0 B_0}{f_1'} = \frac{A_1 B_1}{\Delta}$$

denc $d_0 = \frac{A_0 B_0}{A_1 B_1} (\Delta + f_1') = \frac{f_1'}{\Delta} (\Delta + f_1')$

$$\left[d_0 = f_1' + \frac{f_1'^2}{\Delta} \right] \quad \text{(réponse A)}$$



• séparés: $\frac{1}{O_2 A_2} - \frac{1}{O_2 A_1} = \frac{1}{f_2}$ $O_2 A_2 = -24.5 \text{ cm}$
 $= -(dm - f_2')$

$$\frac{1}{dm - f_2} - \frac{1}{O_2 A_1} = \frac{1}{f_2}$$

$$\frac{1}{O_2 A_1} = -\frac{1}{f_2} - \frac{1}{dm - f_2} \rightarrow O_2 A_1 = \frac{f_2(dm - f_2)}{-dm + f_2 - f_2'}$$

$$= \frac{f_2'(f_2 - dm)}{dm}$$

• objectif:

$$\frac{1}{O_2 A_1} - \frac{1}{O_1 A_0} = \frac{1}{f_1'}$$

$$O_2 A_1 = O_2 O_2 + O_2 A_0$$

$$= f_1' + f_2' + \Delta + O_2 A_0$$

$$\frac{1}{-df} \left(\frac{1}{O_1 A_0} \right) = -\frac{1}{f_1'} + \frac{1}{O_1 A_1} \quad \text{avec}$$

$$-\frac{1}{df} = -\frac{1}{f_1'} + \frac{1}{f_1' + f_2' + \Delta + f_2'^2/dm - f_2'} = -\frac{1}{f_1'} + \frac{1}{f_1' + \Delta + f_2'^2/dm}$$

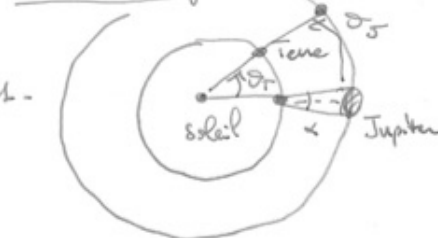
$$= \frac{-f_1' - \Delta - f_2'^2/dm + f_1' f_2'^2/dm}{f_1'(f_1' + \Delta + f_2'^2/dm)}$$

$$\boxed{d_0} = \frac{f_1' (f_1' + \Delta + f_2'^2/dm)}{\Delta + f_2'/dm} = \boxed{\frac{f_1'^2 + f_1'^2}{\Delta + f_2'^2/dm}}$$

↳ réponse C)

lunette astronomique

1) Diamètre angulaire



$$\tan \alpha_0 \approx \alpha_0 = \frac{d_S}{R_S - R_T}$$

$\alpha_0 \ll \frac{\pi}{180}$
 $\alpha_0 \ll 1$

$$\alpha_0 = 2,22 \cdot 10^{-4} \text{ rad} = 1,273 \cdot 10^{-2} \text{ rad}$$

$$1 \text{ degré}^\circ = 3600'' \rightarrow [\alpha_0 = 45,8'']$$

2- 3^e loi de Kepler:

$$\frac{T^2}{R^3} = \text{const} \rightarrow \frac{T_J^2}{R_S^3} = \frac{T_T^2}{R_T^3} \rightarrow T_J = T_T \left(\frac{R_S}{R_T} \right)^{3/2}$$

$$\text{AN} \rightarrow T_J = 4,33 \times 10^3 \text{ jours}$$

3- Orbites circulaires

$$\vec{L}_0 = \vec{v_0} = R \vec{e}_r \wedge m (R \dot{\theta} \vec{e}_\theta)$$

$$= m R^2 \dot{\theta} \vec{e}_\theta = \vec{v_0}$$

$$\text{donc } \dot{\theta} = v_0 \rightarrow \sqrt{v} = R \dot{\theta} = v_0$$

$$\text{Sim PFD} \rightarrow m \ddot{a} = m \left(-\frac{v^2}{R} \vec{e}_r + \frac{dv}{dt} \vec{e}_\theta \right) = F_r \vec{e}_r$$

$$\text{donc } \frac{dv}{dt} = 0 \quad \text{en proj. sur } \vec{e}_\theta.$$

Pour pos de l'opposé $\theta_T = \frac{\pi}{2}$ La Terre fera n tour de plus!
 car + rapide!

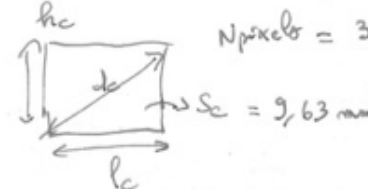
$$\begin{aligned} \text{Entre le opp} & \rightarrow \Delta \theta_T = \pi \text{ rad} = \Delta \theta_J \\ & \Delta t \times \omega_T = \pi \text{ rad} = \Delta t \times \omega_J \\ \text{entre 2 opp} & \rightarrow n = 1 \quad \Delta t \times \frac{\omega_J}{\omega_T} = \Delta t \times \frac{\omega_J}{\omega_J} = \Delta t \end{aligned}$$

$$\Delta t \left(\frac{1}{\omega_T} - \frac{1}{\omega_J} \right) = 1$$

$$\Delta t = \frac{T_T T_J}{T_J - T_T} = [399 \text{ jours}]$$

2) Mise au point

1- Caméra CCD



$$Sc = lc \sqrt{2}$$

avec $lc^2 + lc^2 = dc^2$

$$Sc^2 = lc^2 \sqrt{2}^2 = (dc^2 - lc^2) \sqrt{2}^2$$

$$\text{Poser } lc = lc^2 \rightarrow Sc^2 = (dc^2 - lc^2) lc$$

$$lc^2 - dc^2 lc + Sc^2 = 0 \rightarrow \Delta = dc^4 - 4Sc^2 > 0$$

$$lc = \frac{dc^2 \pm \sqrt{dc^4 - 4Sc^2}}{2}$$

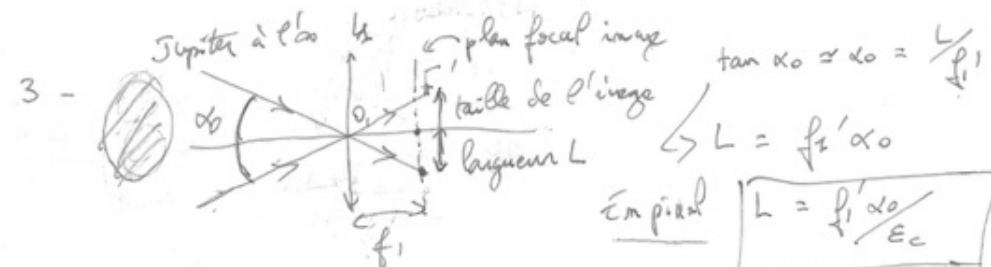
solut > 0 $\rightarrow lc = \frac{dc^2 + \sqrt{dc^4 - 4Sc^2}}{2}$

$$lc = \frac{dc}{\sqrt{2}} \sqrt{1 + \sqrt{1 - \frac{4Sc^2}{dc^4}}} \rightarrow lc = 3,59 \text{ mm}$$

$$hc = \frac{Sc}{lc} = 2,69 \text{ mm}$$

$$\text{Pixel "camé"} \rightarrow N E_c^2 = Sc \rightarrow E_c = \sqrt{\frac{Sc}{N}} = 5,60 \mu\text{m}$$

2- Jupiter est éloigné à une distance $\gg f_1'$ \rightarrow soit à l'infini!
 $(\approx R_S)$



3-

$$\tan \alpha_0 \approx \alpha_0 = \frac{L}{f_1}$$

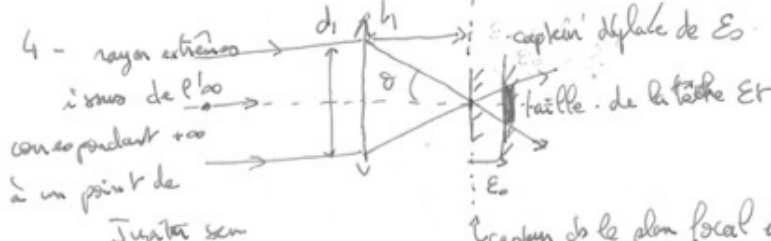
plan focal image
 taille de l'image
 longueur L

$$L = f_1' \alpha_0$$

Empêcher

$$L = f_1' \frac{\alpha_0}{E_c}$$

$$L = 102 \text{ pixels} \quad (0,57 \text{ mm})$$



l'captur du le plan focal image (image d'un point)

ce phénomène est symétrique pour un déplacement opposé.

5 - Pour que la netteté soit maintenue, il faut que la taille de la tâche demeure inférieure à la largeur d'un pixel, alors un point objet → un point image (stigmatisme respecté)

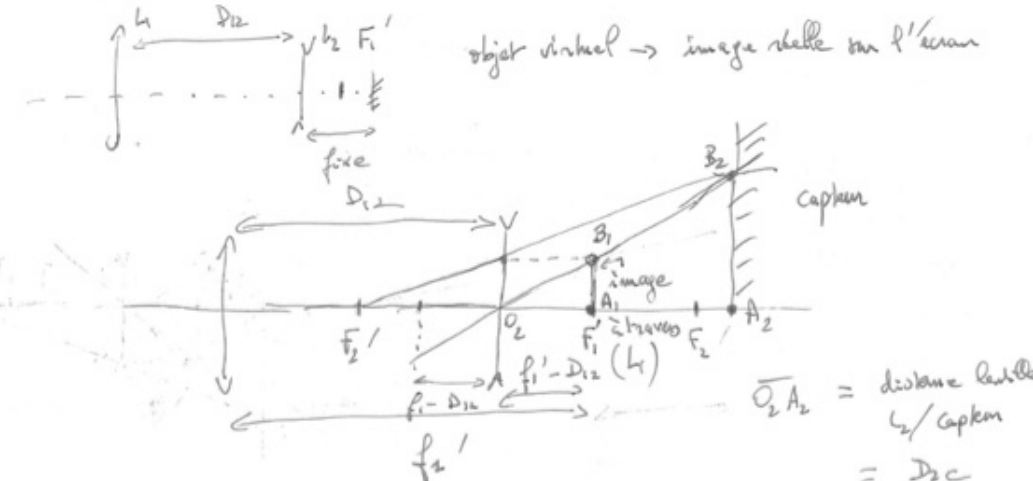
$$Et < Ec$$

$$\text{Ici } \tan \delta = \frac{d_2}{f_1} = \frac{Et}{Ec} \rightarrow Et = \frac{d_2}{f_1'} Ec$$

$$Et < Ec \rightarrow \frac{d_1}{f_1'} Ec < Ec$$

$$Ec < Ec \frac{f_1'}{d_1} = 56 \mu\text{m}$$

3) Lentille de Barlow



$$\text{Il faut choisir } f_2' / |f_2'| > f_1' - D_{12}$$

$\xrightarrow{\text{A}1\text{B}1 \propto (L)}$ $\xrightarrow{\text{A}1, \text{B}1}$ $\xrightarrow{\text{A}2, \text{B}2 \text{ agrandi}}$
 de Jupiter $\xrightarrow{\text{du plan focal image de } (L)}$ sur le capteur

$$\text{L'relation à disposition : } \frac{1}{D_2 A_2} - \frac{1}{D_2 A_1} = \frac{1}{f_2'}$$

$$\frac{1}{D_2 c} - \frac{1}{f_1' - D_{12}} = \frac{1}{f_2'}$$

$$\rightarrow \text{Grandissement recherché : } \gamma = 3$$

$$\gamma = \frac{A_2 B_2}{A_1 B_1} = \frac{O_2 A_2}{O_2 A_1} = \frac{O_2 A_2}{f_1' - D_{12}} = \gamma$$

$$\Rightarrow D_2 A_2 = \gamma (f_1' - D_{12}) = D_2 c$$

$$\frac{1}{D_2 c} = \frac{1}{\gamma (f_1' - D_{12})}$$

Etude d'un appareil photographique

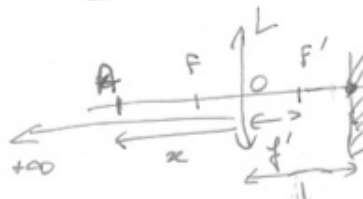
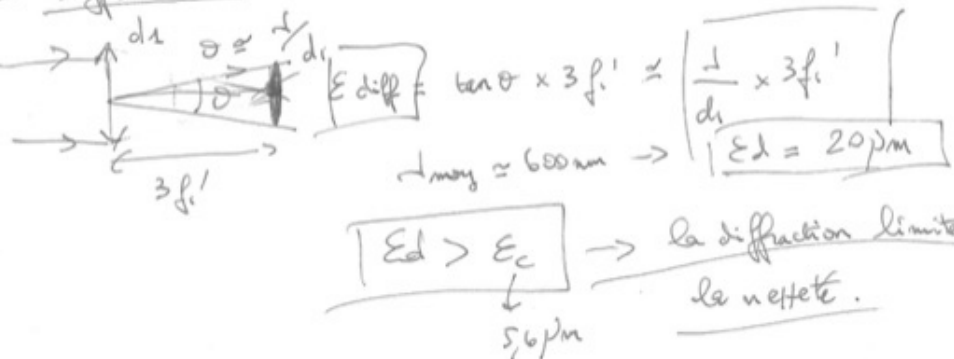
a) Rôle au point de l'objectif

$$\frac{1}{D_{2c}} - \frac{\gamma}{D_{2c}} = \frac{1}{f'_2} \rightarrow \left[f'_2 = \frac{D_{2c}}{1-\gamma} \right] = -\frac{200}{2} = [-100 \text{ mm}]$$

$$-\gamma D_{12} + \gamma f'_1 = D_{2c} \rightarrow \left[D_{12} = f'_1 - \frac{D_{2c}}{\gamma} = 328 \text{ mm} \right]$$

2. $f'_2 = f'_1 \times \gamma_0$ ici on a multiplié la taille par ③ ce qui revient à utiliser une focale unique f'_1 triplée.
Ici on économise l'encombrement!

4 - Diffraction



- pour $x \rightarrow +\infty$ $d_{\text{min}} = f' = 50 \text{ mm}$
- objet à l'infini \rightarrow image sur le plan focal
- pour $x = 60 \text{ cm} \rightarrow d = d_{\text{max}}$

$$\frac{1}{D_{\text{A}'}} - \frac{1}{D_A} = \frac{1}{f'}$$

$$\frac{1}{d_{\text{max}}} + \frac{1}{x} = \frac{1}{f'} \rightarrow d_{\text{max}} = \frac{f' x}{x - f'}$$

$$\text{puis } \rightarrow d_{\text{max}} = 5,45 \text{ cm}$$

b) On appelle image

$$d_{\text{max}} - d_{\text{min}} \approx 5 \text{ cm}$$

b) Ouverture et temps de pose

$$\Delta E_{\text{collectée}} = P_{\text{surf}} \times S \Delta t \quad \text{avec } P_{\text{surf}} \approx \text{flux du verre de Rynding.} \propto \text{intensité lumineuse}$$

$$= I \times \frac{\pi D^2}{4} \Delta t$$

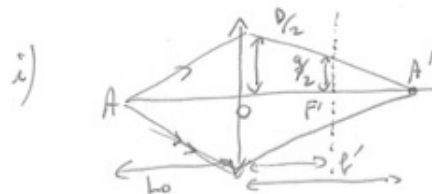
(Rq) si un certain angle α du faisceau \rightarrow facteur cos α à prendre en compte ...

$$\text{à } I_{\text{tot}} \rightarrow E_{\text{collectée}} = I \times \frac{\pi D^2}{4} T_e \quad \text{avec } T_e \text{ le temps d'exposition (ou d'intégration)}$$

$$\text{donc } \boxed{E_{\text{collectée}} \propto D^2 T_e \alpha f'^2 T_e / N^2} \quad \text{avec } N \text{ nombre d'ouverture} = \frac{f'}{D}$$

Suite gén. des temps d'exp. de raison $\sqrt{2} \rightarrow T_e$
donc suite de racine $\sqrt{2}$ pour N (et maintenir collectée fixe).

c) ouverture et distance hyperfocale like un grain



$$\frac{D}{f'} = \frac{1}{N}$$

$$(DA' > 0)$$

$$\text{Théorème de Thibb} \Rightarrow \frac{\frac{g}{D}}{\frac{g}{D_2}} = \frac{A'P'}{\overline{OA'}} \Rightarrow \frac{g}{D} = \frac{\overline{OA}' - f'}{\overline{OA}'} = 1 - \frac{f'}{\overline{OA}'}$$

Exprimons \overline{OA}' en fonction de \overline{OA} = $-L_o$

$$\frac{1}{\overline{OA}'} - \frac{1}{\overline{OA}} = \frac{g}{f'} \rightarrow \frac{1}{\overline{OA}'} = \frac{1}{\overline{OA}} + \frac{g}{f'} = -\frac{1}{L_o} + \frac{1}{f'} = \frac{L_o - f'}{L_o f'}$$

$$\text{Donc } \frac{g}{D} = 1 - f' \left(\frac{L_o - f'}{L_o f'} \right) = 1 - f' + \frac{f'}{L_o}$$

$$L_o = \frac{D f'}{g} = \boxed{\frac{f'^2}{g} \frac{1}{N}}$$

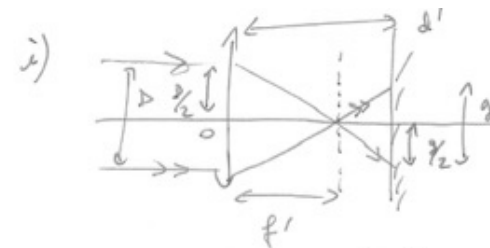
$$N = \frac{f'}{D} !!$$

$$\text{Pour } N = 38 \rightarrow L_o = 44,6 \text{ m}$$

$$\text{Pour } N = 16 \rightarrow L_o = 7,81 \text{ m}$$

ii) Plus L_o est faible, plus la profondeur de champ $\in [+\infty; L_o]$
est grande (image nette) donc $\Pr \nexists \text{ qd } N \rightarrow \text{ objectif fermé} \oplus$
 $\Pr \nexists \text{ qd } f' \rightarrow \text{ diamètre petit.}$

d) Amélioration de la profondeur de netteté



$$\text{Thibb} \Rightarrow \frac{g}{D} = \frac{d' - f'}{f'} = \frac{d'}{f'} - 1$$

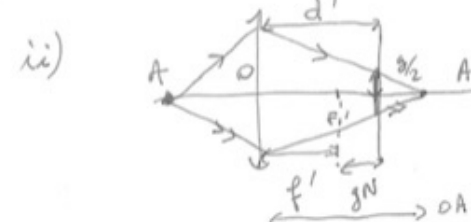
$$\rightarrow \frac{d'}{f'} - 1 = \frac{g}{D} + 1 \rightarrow d' = g \frac{f'}{D} + f'$$

$$\rightarrow \boxed{d' = f' + g N}$$

$$\text{Pour } N = 38 \rightarrow d' = 50,06 \text{ mm} \rightarrow \text{ déplacement de } 0,06 \text{ mm}$$

$$\text{Pour } N = 16 \rightarrow d' = 50,32 \text{ mm} \rightarrow \text{ déplacement de } 0,32 \text{ mm}$$

La netteté est encore améliorée.



$$\text{Thibb : } \frac{g}{D} = \frac{\overline{OA}' - (f' + g N)}{\overline{OA}'} = 1 - \frac{f' + g N}{\overline{OA}'}$$

$$\text{Conjugaison avec } \overline{OA} = -L_s \rightarrow \frac{1}{\overline{OA}'} = \frac{L_s - f'}{L_s f'}$$

$$\frac{g}{D} = 1 - (f' + g N) \times \left(\frac{L_s - f'}{L_s f'} \right)$$

$$\frac{g}{D} = 1 - \left(\frac{f' + g N}{f'} \right) \left(1 - \frac{f'}{L_s} \right)$$

$$\left(1 - \frac{g}{D}\right) \frac{f'}{(f' + gN)} = 1 - \frac{f'}{L_1} \rightarrow \left(1 - \frac{g}{D}\right) \frac{f'}{\left(\frac{f'}{L_1} + gN\right)} - 1 = - \frac{f'}{L_1}$$

$$L_1 = \frac{-f'}{\left(1 - \frac{g}{D}\right) \left(\frac{f'}{f' + gN}\right) - 1} = \frac{-f}{\left(1 - \frac{g}{D}\right) \left(\frac{1}{1 + \frac{gN}{f'}}\right) - 1}$$

Avec $\frac{gN}{f} \ll 1 \rightarrow L_1 \approx \frac{-f}{\left(1 - \frac{g}{D}\right) \left(1 - \frac{gN}{f'}\right) - 1}$

et $\frac{gN}{f} = \frac{gf'}{Df'} = \frac{g}{D} \rightarrow L_1 \approx \frac{-f}{f - \frac{g}{D} - \frac{gN}{f'}} \nearrow DL$

$$\boxed{L_1 \approx \frac{f'}{f + 2g}} = \frac{1}{2} L_0 \quad \begin{matrix} \text{on n'importe} \\ \text{l'ordre 2.} \end{matrix}$$

L'hyperfocale est divisée par 2 !

$N=16 \rightarrow$ ouvert entre 100 et 4,0 m \rightarrow sans mise au point !!
appareil très floué ! (\rightarrow bassin de luminosité !) C'est le cas d'appareils jetables !

Par contre l'image d'un objet proche sera floue !
 Pour une photo, le grain de la pellicule rend le stigmatisme approché convenable. (si stigmatisme rigoureux image nette unique et de un plan)

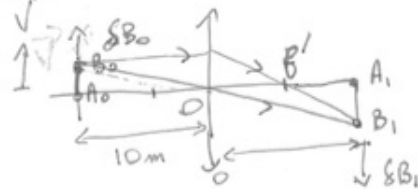
e) Cycliste à 10m avec $V = 4,0 \text{ km.h}^{-1}$

Temps de pose $8,0 \text{ ms}$

Pour une durée T_e , le cycliste parcourt $\sqrt{T_e}$ $\Rightarrow \delta B_o = \sqrt{T_e}$
 Le déplacement du point image est $\gamma \sqrt{T_e}$ avec γ grandissement

$$\delta B_i = \gamma \sqrt{T_e}$$

Il faut que $|\delta B_i| < g$
 pour avoir une image nette



$$\gamma = \frac{\overline{A_i B_i}}{\overline{A_o B_o}} = \frac{\overline{O A_i}}{\overline{O A_o}} \text{ avec } \frac{1}{\overline{O A_i}} - \frac{1}{\overline{O A_o}} = \frac{1}{f'} \\ \frac{1}{\overline{O A_i}} = \frac{1}{\overline{O A_o}} + \frac{1}{f'} \quad \checkmark \\ \frac{1}{\overline{O A_i}} = \frac{f' \overline{O A_o}}{f' \overline{O A_o}}$$

$$\gamma = \frac{f' \overline{O A_o}}{f' + \overline{O A_o}} \quad \frac{1}{\overline{O A_i}} = \frac{f'}{f' + \overline{O A_o}} = + \frac{50 \text{ mm}}{50 \text{ mm} + 10 \text{ m}} = - \frac{5.10^{-3}}{19} = -5.10^{-3}$$

donc $\delta B_i = -5 \times 10^{-3} \times 11,1 \text{ m.s}^{-1} \times 8 \cdot 10^{-3}$

$$\boxed{\delta B_i \approx -440 \mu\text{m}} \quad \gg \text{grain}$$

Objet flou !

Avec un autofocus, il faudrait que le déplacement demeure inférieur à $\delta_e = 10 \mu\text{m}$. Mais il sera difficile de gagner $\times 40$!!? Il faudrait se reculer ou utiliser temps de pose + court.

De plus, sans mise au point pour le jetable,
il faut évaluer la taille de la tâche d'un point \rightarrow tâche image

$$r = D \left(1 - \frac{d_1}{DA_i} \right)$$

et voir si le déplacement est bien inférieur à $\frac{g}{2} - r$
pour que la tâche ne déborde pas sur un autre grain ~~pas~~ de
sa translation.